

**ԵՐԵՎԱՆԻ ՊԵՏԱԿԱՆ ՀԱՍՏԱՏՄԱՆ ԳԻՏԱԿԱՆ ՏԵՂԵԿԱԳԻՐ
УЧЕНЫЕ ЗАПИСКИ ЕРЕВАНСКОГО ГОСУДАРСТВЕННОГО УНИВЕРСИТЕТА**

Երկրաբանություն և աշխարհագրություն

52(3), 2018

Геология и география

Երկրաբանություն

УДК 550.83

**ՍՈՂԱՆՔԱՅԻՆ ԵՐԵՎՈՒՅԹԸՆԵՐԻ ՈՒՍՈՒՄՆԱՍԻՐՄԱՆ
ԵՐԿՐԱՖԻԶԻԿԱԿԱՆ ՄԵԹՈԴՆԵՐԻ ԱՐԴՅՈՒՆԱՎԵՏ
ՀԱՍԱԼԻՐԻ ԸՆՏՐՈՒԹՅՈՒՆԸ
(ԶՈՐԱՀԵԿ-ի սողանքի օրինակով)**

Մ. Ա. ԳՐԻԳՈՐՅԱՆ^{1*}, Գ. Վ. ՄԱՐԿՈՍՅԱՆ^{1**}, Ե. Ս. ՄԱՆՈՒԿՅԱՆ^{2***}

¹ ԵՊՀ Երկրաֆիզիկայի ամբիոն, Հայաստան

² ԵՊՀ քարտեզագրության և գեոմորֆոլոգիայի ամբիոն, Հայաստան

Հոդվածում քննարկված են համայնք երկրաբանական, գեոմորֆոլոգիական, երկրաֆիզիկական մեթոդների ընտրության հարցերը, կապված ինչպես սողանքային երևույթների ուսումնասիրման արդյունավետության բարձրացման, սողանքային մարմնի տարածական սահմանների նկարագրման և քարտեզագրման, այնպես էլ ժամանակի մեջ սողբի դիմամիկային հետևելու և կանխատեսումներ կատարելու հետ:

Keywords: landslide, dynamics, geophysical methods, anomaly, physical-geological model.

Ներածություն: Սողանքային երևույթները երկրի մակերեսի վրա ունեն մեծ տարածում և դիտվում են հիմնականում լեռնային շրջաններում: ՀՀ-ում դրանք մեծ վնաս են հասցնում տնտեսությանը, նաև մարդկային զոհերի պատճառ են հանդիսանում: Բնական լանջերում այդ երևույթների առաջացման վտանգավորության և կանխագուշակման հիմնավորված գնահատական տալու համար անհրաժեշտ է առաջին հերթին ուսումնասիրել լանջի գեոմորֆոլոգիական առանձնահատկությունները, երկրաբանական կառուցվածքը, ջրաերկրաբանական պայմանները, ապարների լիբոլոգիական կազմը և ֆիզիկամեխանիկական հատկությունները: Այստեղ ժամանակակից սողանքային երևույթների դաշտային ուսումնասիրությունների մեթոդները խիստ բազմազան են և շարադրված են տարբեր մասնագետների աշխատանքներում: Բազմաթիվ են այն խնդիրները, որոնք գլխավորապես պայմանավորված են սողանքային երևույթների դիմամիկայով, որոնց լուծման արդյունքները բույլ են տալիս զնահատել սողանքավտանգ լանջերի կայունությունը և կիրառել հակասողանքային միջոցառումներ:

Հակասողանքային միջոցառումների նախագիծը կազմելիս առաջնային խնդիրներ են համարվում՝

* E-mail: maratg@ysu.am;

** g.markos@ysu.am;

*** emanukyan@ysu.am

ա) սողանքային լանջի երկրաբանական կտրվածքի լիթոլոգիական կազմի ուսումնասիրություն մինչև արմատական ապարներ;

բ) գործող սահքի հարթության տեղադրման ձևի և խորության որոշում, սահքի հարթության համատեռության որոշում;

գ) ստորերկրյա ջրերի առկայության և դրանց տեղադրման մակարդակի խորության որոշում;

դ) ստորերկրյա ջրերի հոսքերի ուղղությունների որոշում սողանքային մարմնում և նրա սահմաններից դուրս:

Մյուս խնդիրների լուծումը՝ գրունտների ֆիզիկամեխանիկական հատկությունների, մակերեսային տեղաշարժերի և սողանքային գրունտների առածզականության դինամիկական գործակիցների ուսումնասիրությունները կարևոր նշանակություն ունեն սողանքային երևոյթների ակտիվացումը կամ դանդաղեցումը գրանցելու, ինչպես նաև հակասողանքային միջոցառման արդյունավետությունը գնահատելու համար:

Ելնելով վերը նշվածներից և ծառացած խնդիրների լուծումից անհրաժեշտ է սողանքավտաճակ լանջերի տարածքում իրականացնել հետևյալ ուսումնասիրությունները՝

- ինժեներակրարաբանական հետազոտություններ;
- ջրաերկրաբանական հետազոտություններ;
- երկրաֆիզիկական հետազոտություններ;
- գեղնորդության հետազոտություններ;
- հորատման աշխատանքներ;
- արբանյակային դիրքորոշման կայանների միջոցով սողանքային մարմինների տեղաշարժման ուղղությունների և արագությունների որոշում:

Ուսումնասիրությունների արդյունքում հնարավոր է ստանալ հետևյալ նյութերը՝

- տարածության մեջ, կայուն, շխախտված, արմատական ապարների տեղադրման ձևի և խորության քարտեզ;
- ստորերկրյա ջրերի տեղադրման խորության, հոսքի ուղղությունների, առավելագույնս ներքափանցելիության խորությունների քարտեզը;
- գործող սողանքների սահքի հարթության խորության և տեղադրման ձևի քարտեզ;
- տվյալներ ջրերի քիմիական կազմի վերաբերյալ;
- գրունտների ֆիզիկամեխանիկական հատկությունների մասին տվյալներ;
- կայուն և սահքի ենթարկված ապարների առածզականության գործակցի (E_d) և սահքի մոդուլի (μ_d) դինամիկական արժեքների քարտեզ;
- սողանքային մարմնի տեղաշարժման ուղղությունների և արագությունների քարտեզ:

Ստացված տվյալները տարվա մեջ երկու տարբեր ժամանակահատվածներում պետք է ենթարկվեն երկրաֆիզիկական պարամետրերի մշտադիտարկման, մշակումից հետո տրվի հակասողանքային միջոցառումների պլան, իսկ իրականացումից հետո հնարավոր է գնահատել հակասողանքային միջոցառման արդյունավետությունը:

Ուսումնասիրությունները ցույց են տալիս, որ նշված խնդիրները լավագույնս կարելի է լուծել երկրաֆիզիկական մեթոդներով՝ հատկապես սեյսմահետախուզության և էլեկտրահետախուզության։ Կարևորվում է նաև սողքի ենթարկված ապարների ջրահագեցվածության խնդիրը, որը պատճառ է դառնում ապարների ֆիզիկամեխանիկական հատկությունների փոփոխման.

սահրի գոտում ապարների կառուցվածքի խախտումը բերում է ապարների պետրոֆիզիկական պարամետրերի փոփոխության, այդ թվում՝ էլեկտրադիմադրության, առաձգականության, խտության և մագնիսականության [1, 2]:

Ուսումնասիրությունները ցույց են տալիս նաև, որ սահրի գոտում փոքրանում են առաձգական երկայնական (V_p) և լայնական (V_s) ալիքների արագությունները, մեծանում են մարման գործակիցները (α_p , α_s) [3]: Վերջին տարիներին սոլանքների ուսումնասիրության երկրաֆիզիկական համակիրում կիրառվում են նաև գրավիհետախուզությունը և մագնիսահետախուզությունը: Հատկապես մագնիսահետախուզությամբ ուսումնասիրվում է սողոք ենթարկված ապարների տերսուրա-կառուցվածքային փոփոխությունները և ծավալալարվածային վիճակը [2, 4, 5]:

Սոլանքային գործընթացների կանխատեսում: Այդ նպատակով երկրաֆիզիկական առանձին եղանակները, գեոդեզիական և արբանյակային դիտարկումների մեթոդների հետ համալիր կիրառվում են ուժիմային դիտարկումների տարրերակով: Ինչպես ցույց են տվել փորձները սեյսմահետախուզական մեթոդները կարող են կիրառվել սոլանքային գործընթացների վերահսկման համար, ինչպես սոլանքի նախապատրաստման փուլում, այնպես էլ բուն սողոք ընթացքում: Ուժիմային դիտարկումները ցույց են տվել որ սոլանքային գործընթացի ակտիվացման նախապատրաստման փուլում առաձգական ալիքների արագությունը (V_p , V_s) զգալիորեն փոքրանում է, երբ գեոդեզիական ուելերների տեղաշարժը սոլանքային լանջի մակերևսին գրանցվում է բավական ուշացումով [3, 6]: Արդյունքում մինչև բուն սողոք սկսվելը գրանցվում է սեյսմիկ բնութագրերի (V_p , V_s , V_p/V_s , α_p , α_s) փոփոխությունները:

ԶՈՐԱՀԵԿ-ի երկրաֆիզիկական ուսումնասիրություններ: Սոլանքային գործընթացները ԶՈՐԱՀԵԿ-ում հայտնի են դեռևս 1947–1948 թթ.-ից: Կառույցի զիսամասային հանգույցում առաջացած դեֆորմացիաների ուսումնասիրման արդյունքում հաստատվել է դրանց առկայությունը կառույցի ձախակինյա լանջին:

Գեոդեզիական ուժիմային դիտարկումներով հաստատվել են լանջի հորիզոնական տեղաշարժեր, հարավ-արևմուտքի ուղղությամբ՝ 1140 ազիմուտով և 1,38 մմ/ամիս միջին ամսական արագությամբ:

2010 թ. ելնելով ուսումնասիրության և առաջադրված խնդիրներից, կառույցի ձախակինյա լանջին իրականացվել են երկրաֆիզիկական հետազոտություններ՝ սեյսմահետախուզական, էլեկտրահետախուզական և մագնիսահետախուզական մեթոդներով, լուծվել են հետևյալ խնդիրները՝

— սոլանքային մարմնի ֆիզիկաերկրաբանական կտրվածքի ուսումնասիրություն;

— սոլանքային մարմնի տարածական քարտեզագրում և սահրի մակերևույթի խորության և դիրքի որոշում;

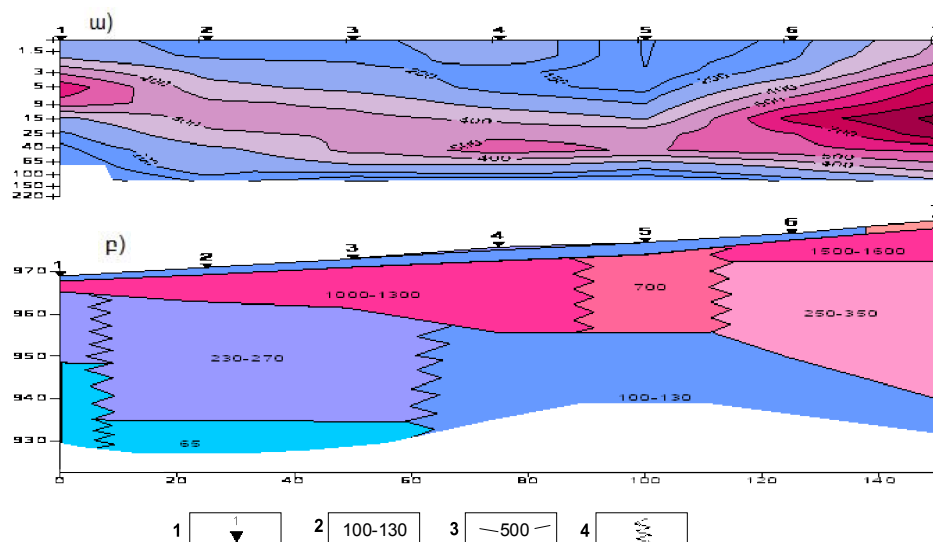
— տեղանքի ջրաերկրաբանական պայմանների գնահատում:

Երկրաֆիզիկական մեթոդների և դաշտային աշխատանքների մեթոդիկայի ընտրման ժամանակ հաշվի են առնված այն գործոնները, որոնք բնորոշ են սոլանքային գործընթացի ուսումնասիրությանը: Տարածքի ֆիզիկաերկրաբանական կառուցվածքը, ուելերները, կիմայական պայմանները, սեյսմարանական և տեխնածին գործոնները որոշում են սողոքի գենետիկական առանձնահատկությունները և սոլանքային գործընթացի ինտենսիվությունը:

Սողանքների տարածքներին բնորոշ նշված հաստատուն և փոփոխվող գործուների ուսումնասիրության նպատակով կիրառվել են էլեկտրահետախուզական (ՈՒԷԶ, ԲԷԴ), մագնիսահետախուզական և սեյսմահետախուզական մեթոդները: Արագ փոփոխվող գործուներից առաջին հերթին, դիտարկված է ջրաերկրաբանական գործոնը, որի պարզաբնան նպատակով կիրառվել է էլեկտրահետախուզության բնական էլեկտրական դաշտի (ԲԷԴ) մեթոդը [7]:

Երկրաֆիզիկական ուսումնասիրությունների արդյունքները: Սողանքային մարմնի ֆիզիկաերկրաբանական կտրվածքի ուսումնասիրության նպատակով կիրառվել է ՈՒԷԶ մեթոդը: 42 կետերում ստացված ՈՒԷԶ-ի կորերի մեջնաբանումները կատարվել են IPI2win համակարգչային ծրագրով և կազմվել են համապատասխան թվով վեց երկակելեկտրական կտրվածքներ, հաշվարկվել են առանձին շերտերի էլեկտրական դիմադրությունները, հզրությունները և տեղադրման խորությունները: Ստորև բերված է 1–1' պլոտֆիլով կառուցվածքի երկրաելեկտրական կտրվածքը:

Երկրակելեկտրական կտրվածք 1–1' պլոտֆիլով: Նկ. 1-ում բերված 1–1' պլոտֆիլը տեղակայված է տարածքի հարավային հատվածում և նրա երկրակելեկտրական կտրվածքն ունի հետևյալ ընդհանուր բնութագիրը:



Նկ. 1: Երկրակելեկտրական կտրվածքը 1–1' պլոտֆիլով. ա) որակական կտրվածք; բ) քանակական կտրվածք: 1 – ՈՒԷԶ-ի համարը; 2 – շերտի էլեկտրական դիմադրությունը, $Oh\cdot\text{մմ}$; 3 – իզոգծեր, $Oh\cdot\text{մմ}$; 4 – երկրակելեկտրական կոնտակտներ:

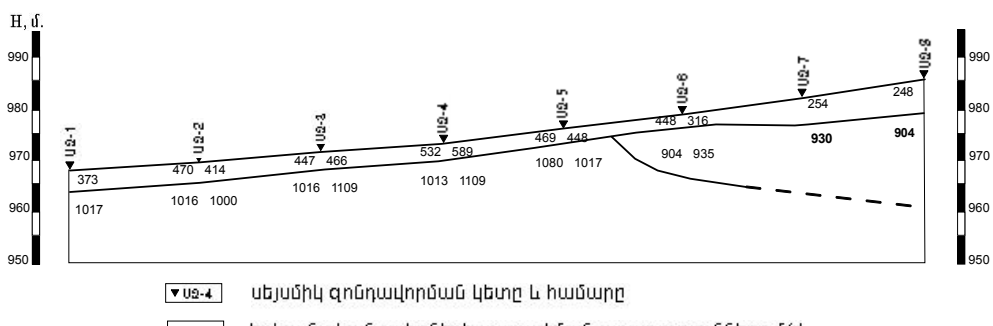
Մերձմակերեսային ապարներն ունեն ցածր էլեկտրական դիմադրություն՝ մինչև 150 $Oh\cdot\text{մմ}$, փոքր հզրություններ՝ մինչև 2–3 մ և համատարած են պլոտֆիլով: Համեմատաբար բարդ երկրակելեկտրական կառուցվածքը փոփոխվում է շերտերի՝ դիմադրությունները (1000–1300-ից մինչև 250–350 $Oh\cdot\text{մմ}$), հզրությունները (10–15 մ մինչև 30–40 մ): Կտրվածքը 20–25 մ-ից մինչև 35–40 մ խորություններում սահմանափակվում է մոտ 60–65 $Oh\cdot\text{մմ}$ -ից մինչև 100–130 $Oh\cdot\text{մմ}$ դիմադրությամբ ապարների շերտով: Կտրվածքում առկա են երկրակելեկտրական կոնտակտներ, որոնք բնութագրում են ապարների փոփոխությունն ըստ խորության և հորիզոնական ուղղության:

Ստացված մյուս բոլոր պրոֆիլներով երկրաէլեկտրական կտրվածքներն իրենց բնութագրերով նման են բերված կտրվածքին: Ըստհանուր ֆիզիկաէրկրաբանական օրինաչափությունները հետևյալներն են: Բոլոր կտրվածքներում առաջին երկրաէլեկտրական շերտերն ունեն $100\text{--}200$ $Oh\cdot\text{մմ}$ էլեկտրական դիմադրություն, հզրությունները՝ $3\text{--}5$ մ, համատարած են և ներկայացված են ժամանակակից դելուվիալ-պրոլիվիալ նստվածքներով: Ըստ խորության երկրորդ շերտի էլեկտրական դիմադրությունները $300\text{--}500$ $Oh\cdot\text{մմ}$ են, սակայն առկա են նաև $1000\text{--}3000$ $Oh\cdot\text{մմ}$ դիմադրության տեղամասեր, որոնք դասավորված են լանջի վերին հատվածներում և քածանված են իրարից ուղղահայացին մոտ երկրաէլեկտրական կոնտակտով: Երրորդ շերտի տեղադրման միջին խորությունը $10\text{--}15$ մ է, ունի համեմատաբար ցածր էլեկտրական դիմադրություն $200\text{--}400$ $Oh\cdot\text{մմ}$ (սահին պայմանական առաջին մակերևույթ), որտեղ դիտվում են էլեկտրական դիմադրության կտրուկ իշեցման տեղամասեր (մինչև 10 $Oh\cdot\text{մմ}$), ինչն էապես, բարդացնում է կտրվածքի երկրաբանական բնութագիրը:

Ուսումնասիրված կտրվածքները $35\text{--}40$ մ խորություններում եզրափակվում են համընդհանուր շերտով, որը լանջի ցածր տեղամասերում $40\text{--}60$ $Oh\cdot\text{մմ}$ է, իսկ համեմատաբար բարձրադիր գոտիներում միջինը $80\text{--}100$ $Oh\cdot\text{մմ}$ (սահրի պայմանական երկրորդ մակերևույթ):

Ստացված տվյալները ցույց են տալիս, որ սահրի առաջին մակերևույթի երկրաէլեկտրական պայմանները զգալի տարբեր են քան երկրորդ մակերևույթինը, պայմանավորված ապարների լիքոլոգիական կազմով, ճեղքավորվածության աստիճանով և ծակոտկենության հատկանիշներով: Երկու մակերևույթների համար ունինեֆի դիրքի կառուցումները ցույց են տալիս նրանց թեքությունը հյուսիս-արևելքից դեպի հարավ-արևմուտք ուղղությամբ:

Երկրամագնիսական դաշտի ուսումնասիրությունների արդյունքներով կազմված T իզոփինամների քարտեզի վրա սոլանքային մարմինը նկարագրվել է որպես բարձր ինտենսիվությամբ դաշտի անոնմալ տեղամաս, որը ցածր ինտենսիվության գծային դասավորվածություն ունեցող լոկալ անոնմալիաներով՝ խզման գծերով, անջատված է հյուսիսային հատվածից: Խզման գիծը հիմնականում ունի հյուսիս-արևելքից դեպի հարավ-արևմուտք ուղղություն, որն արձանագրվել է նաև էլեկտրահետախուզության տվյալներով:



Նկ. 2: Սեյսմաերկրաբանական կտրվածքը 1-1' պրոֆիլով:

Սեյսմահետախուզության աշխատանքներ տարվել են երկու պրոֆիլներով, որոնց արդյունքներով կառուցվել են սեյսմաերկրաբանական երկու կտրվածքներ՝ 1-1' և 2-2' պրոֆիլներով: Նկ. 2-ում բերված է 1-1' պրոֆիլով

սեյսմաերկրաբանական կտրվածքը, որտեղ 10–12 մ խորություններում արձանագրված են երկու սեյսմաերկրաբանական շերտեր: Առաջին շերտի V_p -ի միջին արագությունը կազմում է $\approx 400\text{--}500$ մ/վրկ, իսկ երկրորդ շերտում նրա արժեքները փոփոխվում են 800–1000 մ/վրկ սահմաններում: Համաձայն ստացված արդյունքների, բեկված ալիքների առաջին սահմանը սահքի մակերեսի հետ 10–12 մ խորություններում է, որը համապատասխանում է վերը նշված երկրաէլեկտրական կտրվածքներում առանձնացված սահքի պայմանական առաջին մակերևույթի հետ:

Սոլանքի առաջացման կարևորագույն պայմաններից մեկը տարածքի ջրաերկրաբանական պայմաններն են: Տվյալ դեպքում հնարավոր ջրահոսքերի հայտնաբերման և դրանց շարժման ուղղության խնդիրների լուծման նպատակով կիրառված ԲԷԴ-ի մեթոդի տվյալներով կառուցված գրաֆիկների և իզոպոտենցիալների քարտեզների վրա ընդգծվել են հյուսիս-արևելքից դեպի հարավ-արևմուտքի ուղղությամբ ֆիլտրացիոն բնույթի, բնական էլեկտրական դաշտի պոտենցիալների համեմատական աճ՝ $-60 \div -65$ մՎ-ից մինչև $-5 \div -10$ մՎ, որը հարավային տեղամասում փոփոխում է միջինը $10 \div 20$ մՎ: Համաձայն նմանատիպ տվյալների մեկնաբանման, սա ֆիլտրացիոն հոսքն է, որը տարածքի հարավային հատվածում ունի ստորերկրյա ջրերի բեռնաբախման տեղամաս:

Եզրակացություն: Հայ ԶՈՐԱՀԵԿ-ի սոլանքային մարմնի տարածքում կատարված երկրաֆիզիկական աշխատանքների արդյունքների՝

- էլեկտրահետախուզական և սեյսմահետախուզական ուսումնասիրություններով առաձնացվում են երկու շերտ, որոնք ունեն երկրաէլեկտրական և առաձգական ընդհանուր հատկություններ և կարող են հանդիսանալ սահքի մակերևույթը սոլանքային մարմնի համար;

- առաջին սահքի մակերեսը գտնվում է 10–12 մ, իսկ երկրորդը՝ 30–35 մ խորությունների վրա և տարածվում են հյուսիս-արևելքից դեպի հարավ-արևմուտք ուղղությամբ;

- երկրաէլեկտրական կտրվածքներն ունեն բարդ ֆիզիկաերկրաբանական կառուցվածք՝ առկա են շերտերի լիքոլոգիական, տեքստուրա-ստրուկտուրային փոփոխություններ;

- կտրվածքում առկա առանձին երկրաէլեկտրական կոնտակտները, այդ թվում՝ հնարավոր խզման գոտիների առկայությունը, հնարավորություն է տալիս սոլանքային մարմնին բաժանել ըստ խորության և տարածության;

- ԲԷԴ-ի մեթոդի տվյալներով կառուցված գրաֆիկների և իզոպոտենցիալների քարտեզների վրա առանձնացված են հյուսիս-արևելքից դեպի հարավ-արևմուտք ուղղությամբ ֆիլտրացիոն բնույթի ջրահոսքի գոտին և ուղղությունը;

- մագնիսահետախուզության արդյունքում առանձնացված են սոլանքային մարմնի տարածական դիրքը, սահմանները;

- ՈւԷԶ-ի ռեժիմային մեկանյա դիտարկումների արդյունքները ցույց են տվել, որ սոլանքի դիմամիկան պարզելու համար անհրաժեշտ է երկարաժամկետ դիտարկումներ տարբեր օդերևութաբանական և կլիմայական պայմաններում;

- երկրաֆիզիկական մեթոդների համալիրն ամբողջական լուծում է տվել առաջադրված խնդիրներին և կիրառելի է այլ սոլանքների ուսումնասիրությունների համար:

ԳՐԱԿԱՆՈՒԹՅՈՒՆ

1. **Богословский В.А., Огильви А.А.** Применение геофизических методов для изучения оползней. // Разведочная геофизика, 1977, вып. 78, с. 48–57.
2. **Бродовой В.В., Свирина И.Н.** и др. Высокоточная магниторазведка при изучении оползней. // Разведка и охрана недр, 1980, № 3, с. 113–118.
3. **Григорян М.А.** Применение сейсморазведки для определения поверхности скольжения и состояния оползневого тела. // Известия АН Арм. ССР. Науки о Земле, 1972, № 4, с. 86–90.
4. **Գրիգորյան Մ.Ա., Մարկոսյան Գ.Վ.** և ուր. Դիլիջանի “Հանքային ջուր” սողանքի համալիր Երկրաֆիզիկական մեթոդներով կատարված ուսումնափրությունների արդյունքները (2002–2004 թթ.): ԵՊՀ Երկրաբանական ֆակուլտետի հիմնարքման 70-ամյակին նվիրված գիտական նատաշրջանի նյութեր: Եր., 2006, էջ 149–157:
5. **Balyan H., Markosyan G.** The Monitoring of Landslides in Armenia First Mediterranean Conf. on Earth Observation (Remote Sensing). Belgrade, Serbia and Montenegro. 21–23.04.2004.
6. **Огильви А.А.** Основы инженерной геофизики. М.: Недра, 1990, 501 с.
7. **Семенов А.С.** Электроразведка методом естественного электрического поля. Л.: Недра, 1980, 446 с.

М. А. ГРИГОРЯН, Г. В. МАРКОСЯН, Е. С. МАНУКЯН

ВЫБОР ЭФФЕКТИВНОГО КОМПЛЕКСА ГЕОФИЗИЧЕСКИХ
МЕТОДОВ ИЗУЧЕНИЯ ОПОЛЗНЕВЫХ ПРОЦЕССОВ
(на примере оползня ДЗОРАГЭС)

Резюме

В статье рассматриваются вопросы выбора геофизических методов, связанных с повышением эффективности изучения оползневых процессов, как для описания пространственных границ и картографирования, так и для слежения за процессами динамики скольжения во времени и прогнозирования.

M. A. GRIGORYAN, G. V. MARKOSYAN, Ye. S. MANUKYAN

SELECTION OF EFFECTIVE COMPREHENSIVE GEOPHYSICAL
METHODS FOR STUDYING LANDSLIDE PROCESSES
(on the example of DZORAGES landslide)

Summary

The article deals with the selection of geophysical methods associated with advancing the effectiveness of landslide processes, both with the description of spatial boundaries and mapping, and with the purpose of monitoring the dynamics of slip in time and forecasting.